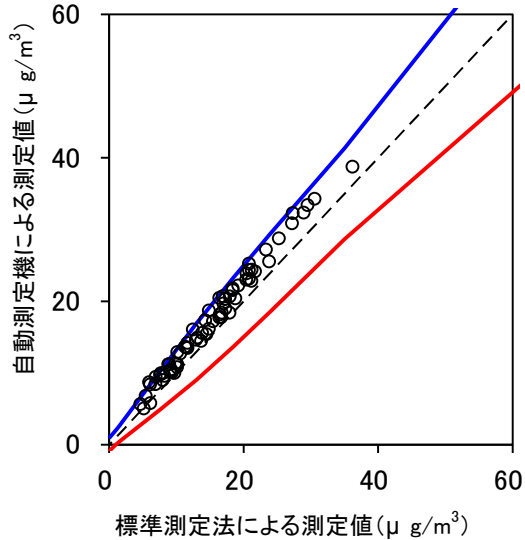


④ FPM-377（東亜ディーケーケー（株））

A：グループごとに P_R を最大化する方法

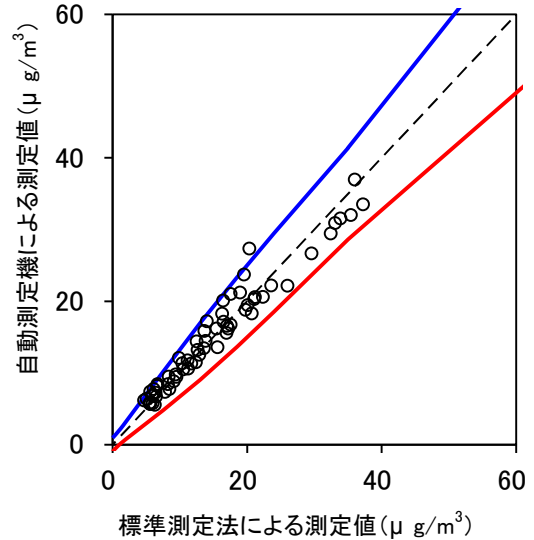
グループ 1 による評価

機種名	FPM-377・夏季
有効測定日数	72
自動測定機の有効データ数	71
ハズレ値の個数	1
r	10
K	1.813
傾き	1.09



FPM-377の夏季における管理限界線との関係

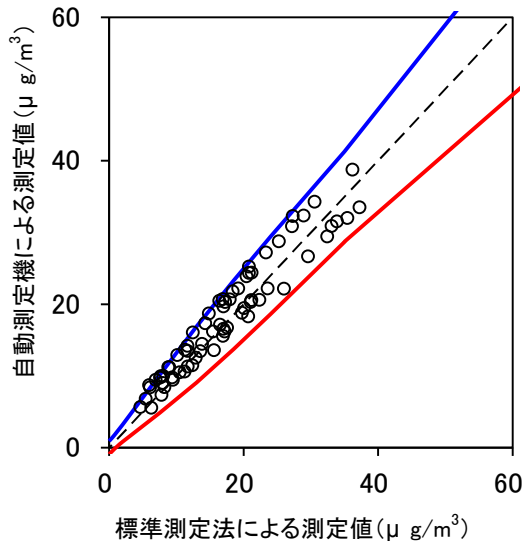
機種名	FPM-377・冬季
有効測定日数	70
自動測定機の有効データ数	63
ハズレ値の個数	1
r	9
K	1.823
傾き	0.90



FPM-377の冬季における管理限界線との関係

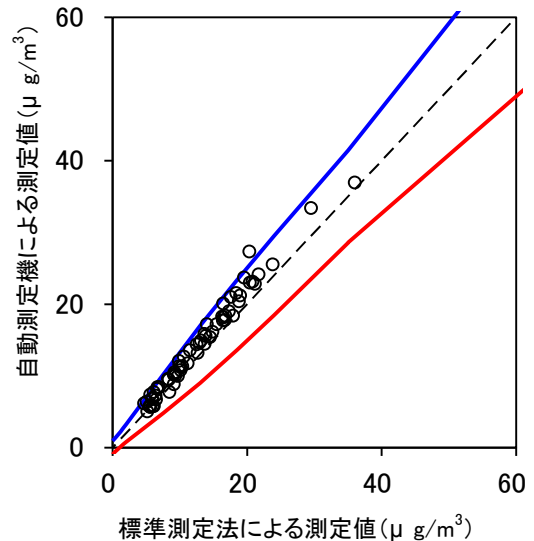
グループ 2 による評価

機種名	FPM-377・都市部
有効測定日数	73
自動測定機の有効データ数	69
ハズレ値の個数	1
r	10
K	1.799
傾き	0.93



FPM-377の都市部における管理限界線との関係

機種名	FPM-377・非都市部
有効測定日数	69
自動測定機の有効データ数	65
ハズレ値の個数	1
r	9
K	1.838
傾き	1.10



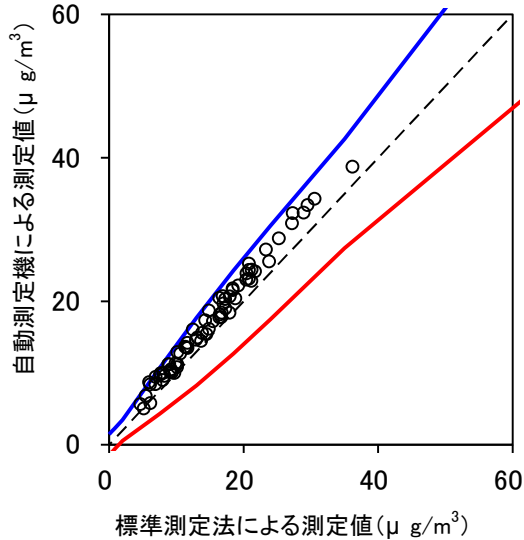
FPM-377の非都市部における管理限界線との関係

B : グループごとに P_R を固定する方法

(1) $\alpha = \alpha'_1$ の場合

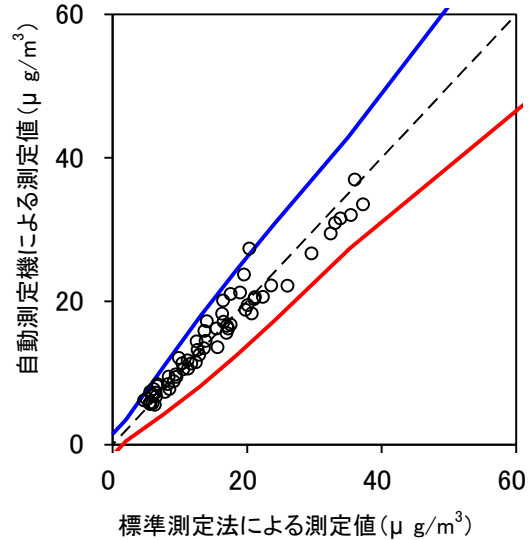
グループ 1 による評価

機種名	FPM-377・夏季
有効測定日数	72
自動測定機の有効データ数	71
ハズレ値の個数	0
r	6
K	2.176
傾き	1.09



FPM-377の夏季における管理限界線との関係

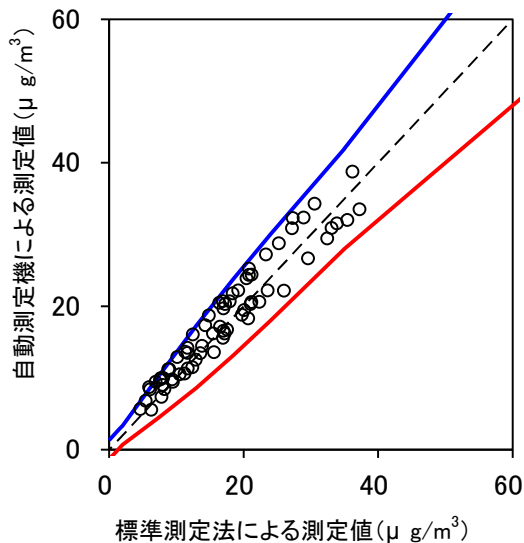
機種名	FPM-377・冬季
有効測定日数	70
自動測定機の有効データ数	63
ハズレ値の個数	1
r	5
K	2.245
傾き	0.90



FPM-377の冬季における管理限界線との関係

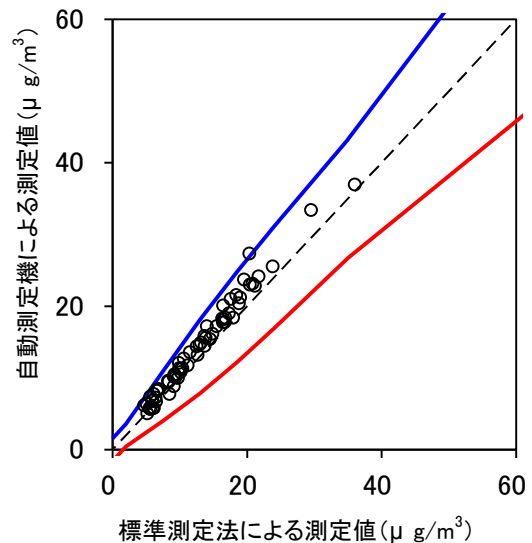
グループ 2 による評価

機種名	FPM-377・都市部
有効測定日数	73
自動測定機の有効データ数	69
ハズレ値の個数	1
r	8
K	2.000
傾き	0.93



FPM-377の都市部における管理限界線との関係

機種名	FPM-377・非都市部
有効測定日数	69
自動測定機の有効データ数	65
ハズレ値の個数	1
r	4
K	2.367
傾き	1.10

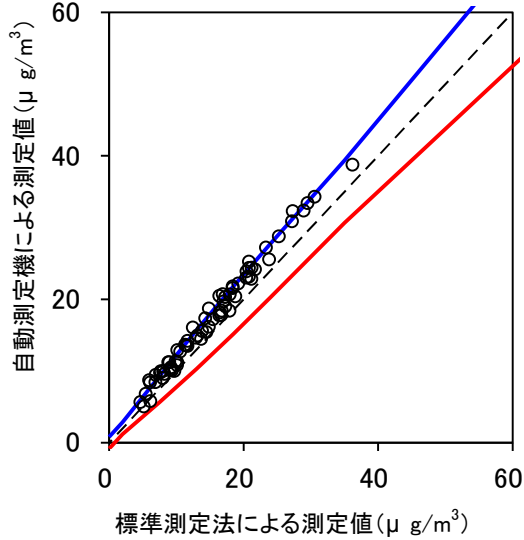


FPM-377の非都市部における管理限界線との関係

(2) $\alpha = \alpha'_2$ の場合

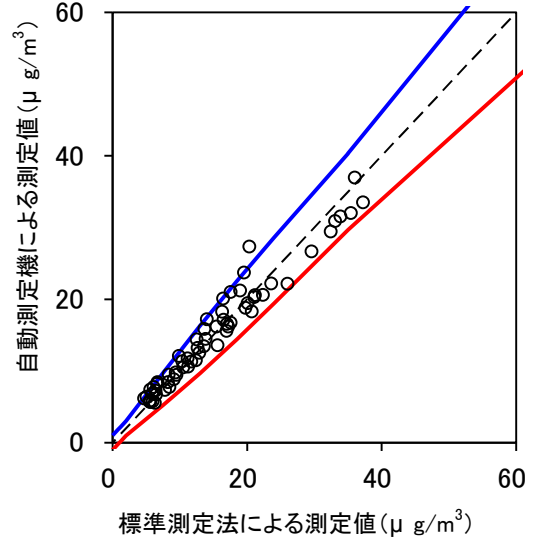
グループ 1 による評価

機種名	FPM-377・夏季
有効測定日数	72
自動測定機の有効データ数	71
ハズレ値の個数	18
r	23
K	1.246
傾き	1.09



FPM-377の夏季における管理限界線との関係

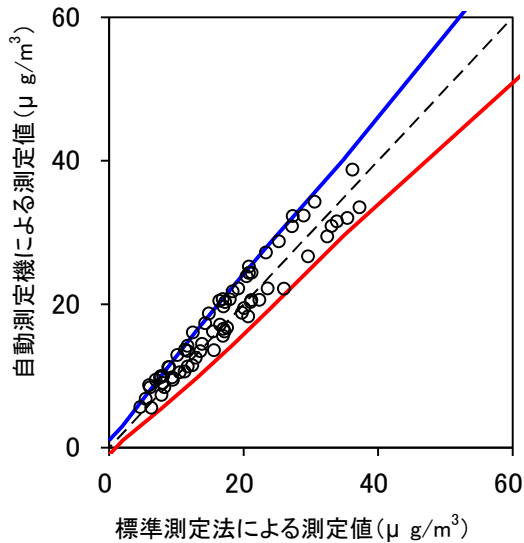
機種名	FPM-377・冬季
有効測定日数	70
自動測定機の有効データ数	63
ハズレ値の個数	1
r	15
K	1.525
傾き	0.90



FPM-377の冬季における管理限界線との関係

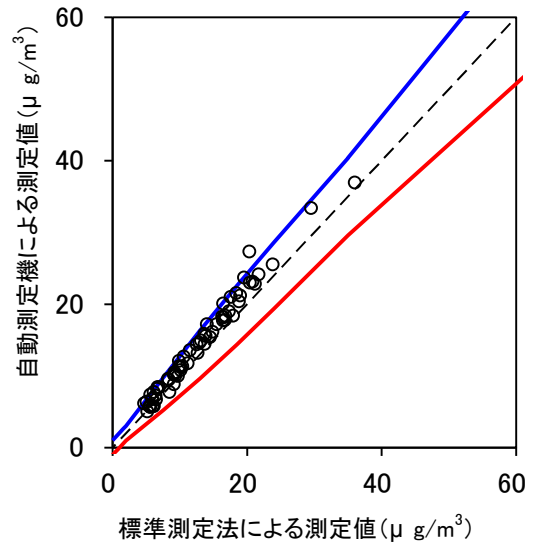
グループ 2 による評価

機種名	FPM-377・都市部
有効測定日数	73
自動測定機の有効データ数	69
ハズレ値の個数	8
r	16
K	1.525
傾き	0.93



FPM-377の都市部における管理限界線との関係

機種名	FPM-377・非都市部
有効測定日数	69
自動測定機の有効データ数	65
ハズレ値の個数	1
r	15
K	1.542
傾き	1.10

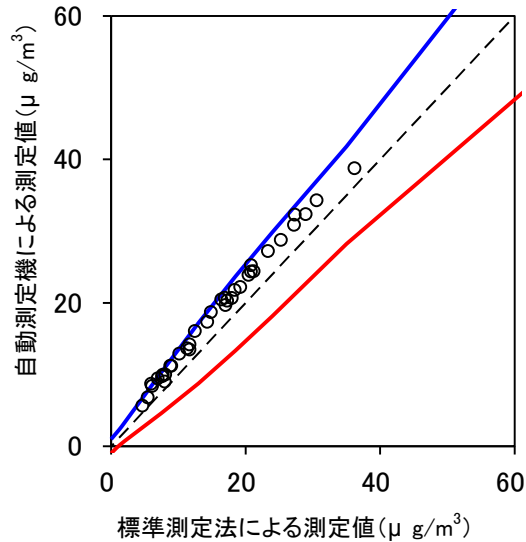


FPM-377の非都市部における管理限界線との関係

C: フィールドごとに P_R を最大化する方法

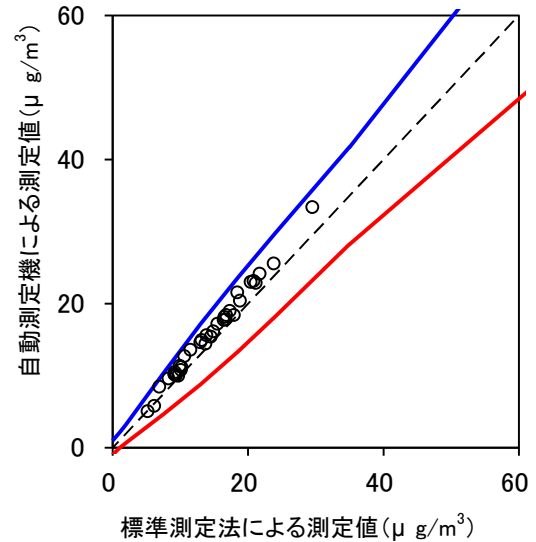
フィールドごとによる評価

機種名	FPM-377・都市部(夏)
有効測定日数	37
自動測定機の有効データ数	36
ハズレ値の個数	1
r	5
K	1.943
傾き	1.07



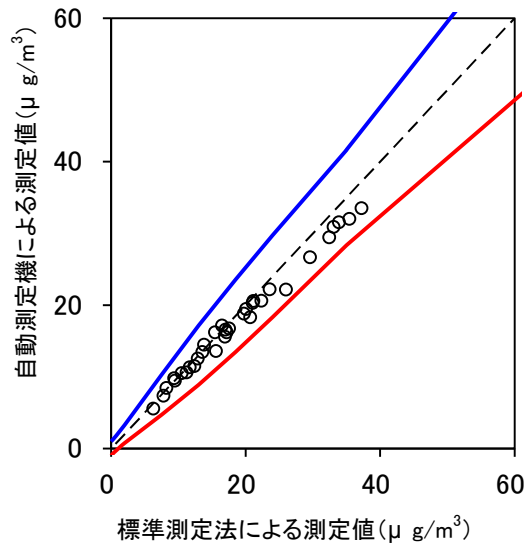
FPM-377の都市部(夏)における管理限界線との関係

機種名	FPM-377・非都市部(夏)
有効測定日数	35
自動測定機の有効データ数	35
ハズレ値の個数	0
r	5
K	1.931
傾き	1.11



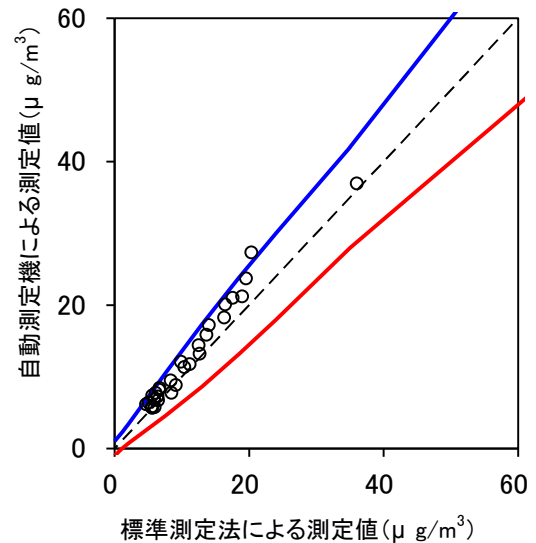
FPM-377の非都市部(夏)における管理限界線との関係

機種名	FPM-377・都市部(冬)
有効測定日数	36
自動測定機の有効データ数	33
ハズレ値の個数	0
r	5
K	1.904
傾き	0.88



FPM-377の都市部(冬)における管理限界線との関係

機種名	FPM-377・非都市部(冬)
有効測定日数	34
自動測定機の有効データ数	30
ハズレ値の個数	1
r	4
K	2.007
傾き	1.11



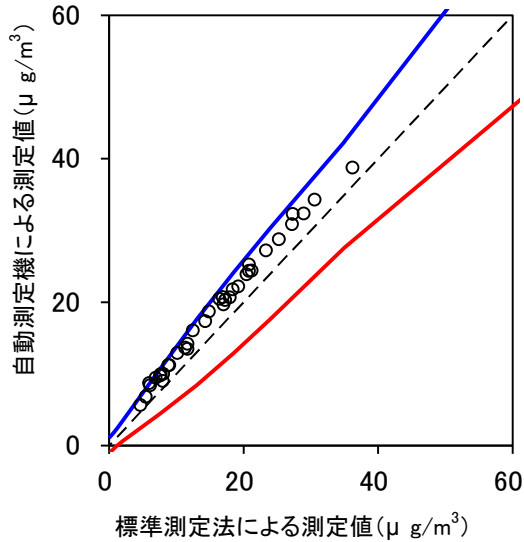
FPM-377の非都市部(冬)における管理限界線との関係

D: フィールドごとに PR を固定する方法

(1) $\alpha = \alpha'_1$ の場合

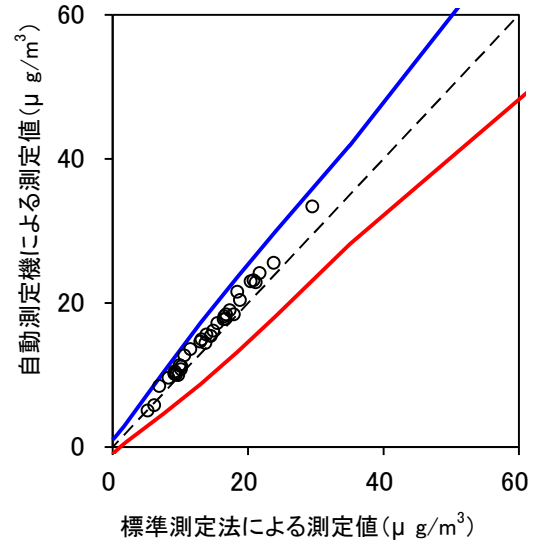
フィールドごとによる評価

機種名	FPM-377・都市部(夏)
有効測定日数	37
自動測定機の有効データ数	36
ハズレ値の個数	1
r	4
K	2.114
傾き	1.07



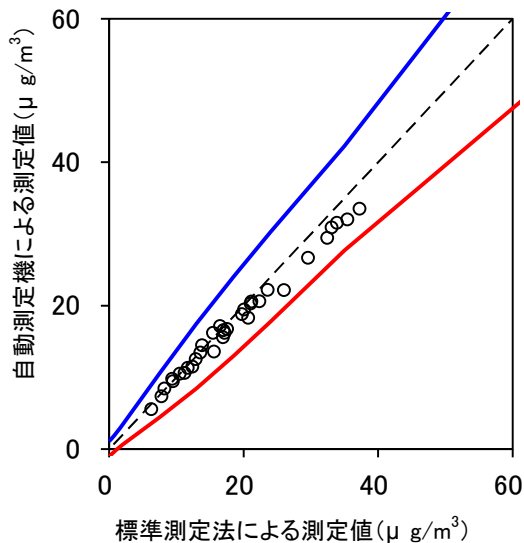
FPM-377の都市部(夏)における管理限界線との関係

機種名	FPM-377・非都市部(夏)
有効測定日数	35
自動測定機の有効データ数	35
ハズレ値の個数	0
r	5
K	1.961
傾き	1.11



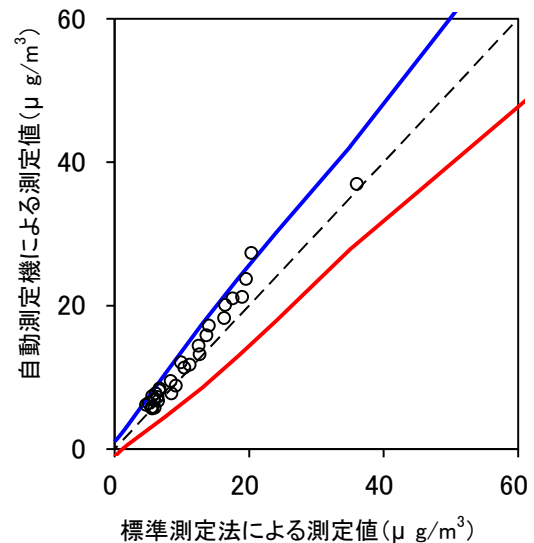
FPM-377の非都市部(夏)における管理限界線との関係

機種名	FPM-377・都市部(冬)
有効測定日数	36
自動測定機の有効データ数	33
ハズレ値の個数	0
r	4
K	2.083
傾き	0.88



FPM-377の都市部(冬)における管理限界線との関係

機種名	FPM-377・非都市部(冬)
有効測定日数	34
自動測定機の有効データ数	30
ハズレ値の個数	1
r	4
K	2.046
傾き	1.11

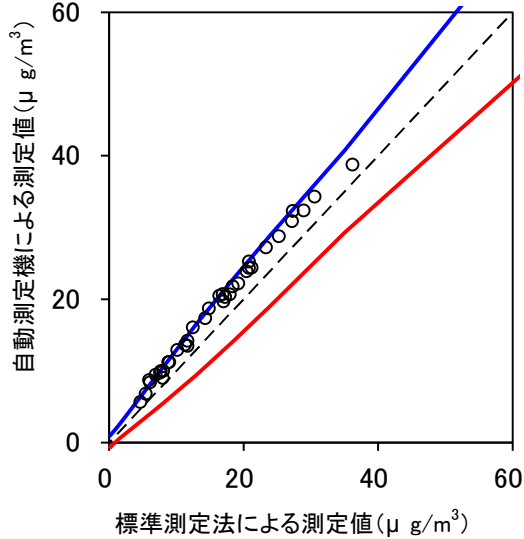


FPM-377の非都市部(冬)における管理限界線との関係

(2) $\alpha = \alpha'_2$ の場合

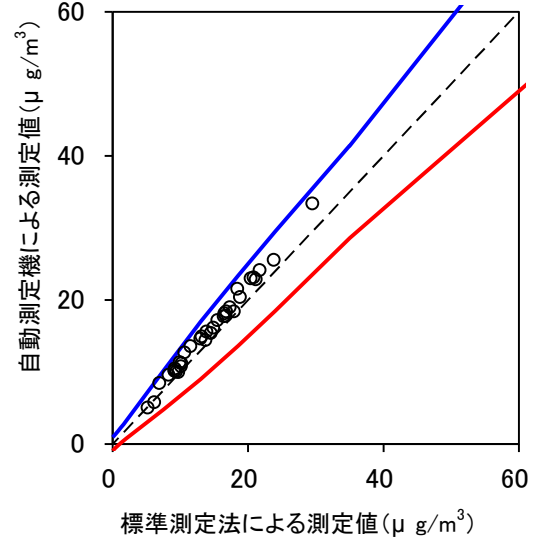
フィールドごとによる評価

機種名 FPM-377・都市部(夏)	
有効測定日数	37
自動測定機の有効データ数	36
ハズレ値の個数	4
r	8
K	1.638
傾き	1.07



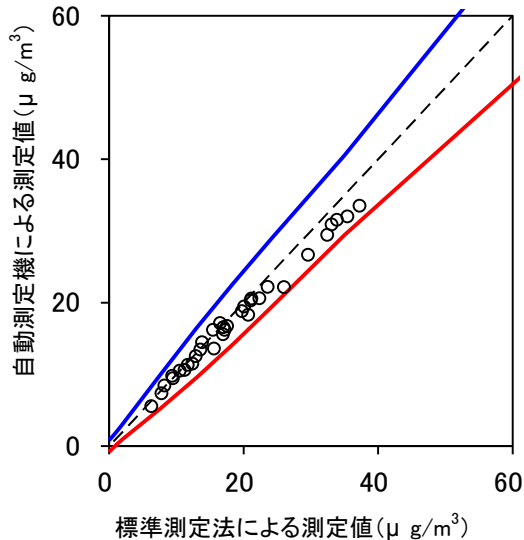
FPM-377の都市部(夏)における管理限界線との関係

機種名 FPM-377・非都市部(夏)	
有効測定日数	35
自動測定機の有効データ数	35
ハズレ値の個数	0
r	6
K	1.836
傾き	1.11



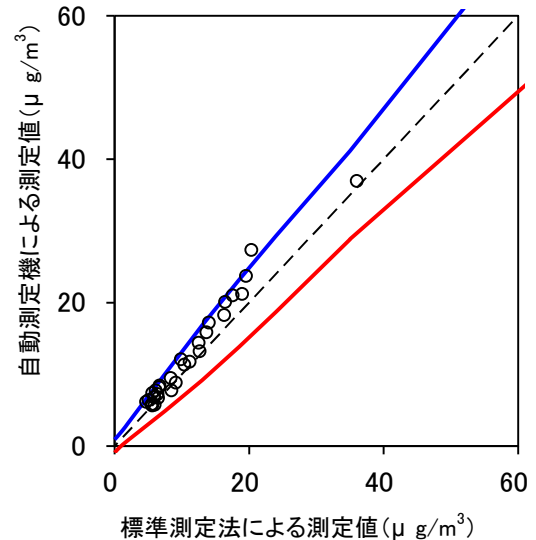
FPM-377の非都市部(夏)における管理限界線との関係

機種名 FPM-377・都市部(冬)	
有効測定日数	36
自動測定機の有効データ数	33
ハズレ値の個数	0
r	8
K	1.589
傾き	0.88



FPM-377の都市部(冬)における管理限界線との関係

機種名 FPM-377・非都市部(冬)	
有効測定日数	34
自動測定機の有効データ数	30
ハズレ値の個数	1
r	6
K	1.761
傾き	1.11



FPM-377の非都市部(冬)における管理限界線との関係